



БИООРГАНИЧЕСКАЯ ХИМИЯ

том 12 * № 9 * 1986

УДК 577.455'233.1'814.1.057:577.336

ФЛУОРЕСЦЕНТНЫЕ ПРОИЗВОДНЫЕ УГЛЕВОДОВ В СТРУКТУРНОМ АНАЛИЗЕ ГЛИКОКОНЪЮГАТОВ. N-(4-МЕТИЛКУМАРИН-7-ИЛ)ГЛИКАМИНЫ: СИНТЕЗ, ХАРАКТЕРИСТИКА И ИСПОЛЬЗОВАНИЕ В УГЛЕВОДНОМ АНАЛИЗЕ

*Хорлин А. Я., Шиян С. Д., Маркин В. А., Насонов В. В.,
Мирзаянова М. Н.*

*Институт биоорганической химии им. М. М. Шемякина
Академии наук СССР, Москва*

Предложен метод анализа углеводного состава гликоконъюгатов, включающий превращение образующихся при гидролизе моносахаридов в N-(4-метилкумарин-7-ил)гликамины (АМК-сахара), разделение их ВЭЖХ на колонках с обращенной фазой и последующее количественное определение флуориметрически. Заведомые образцы АМК-сахаров (глюкозы, галактозы, маннозы, фукозы, 2-дезоксиглюкозы, 2-дезоксигалактозы, 2,5-андигидроманнозы, N-ацетилглюказамина, N-ацетилгалактозамина и N-ацетилманнозамина) синтезированы восстановительным N-алкилированием 7-амино-4-метилкумарина (АМК) перечисленными моносахаридами в присутствии цианоборогидрида патрия. Они практически не различались по своим спектральным характеристикам: $\epsilon_{365} = 19 \pm 1 \text{ мМ}^{-1} \cdot \text{см}^{-1}$, $\lambda_{\text{накс}}^{\text{флуо}} / \lambda_{\text{накс}}^{\text{TCX}} = 365/440$ (нм) (в спирте), квантовый выход флуоресценции 0,9. Предельная чувствительность детекции АМК-сахаров при ТСХ 1 пмоль, а при ВЭЖХ - 0,05 пмоль (проточный флуориметр). Приведена методика определения моносахаридного состава 1–0,05 нмоль гликопroteина, гликопептида или олигосахарида, использующая превращение моносахаридов в АМК-сахара.

Развитие высокочувствительных методов структурного анализа углеводов является актуальной задачей химии и биохимии гликоконъюгатов. В частности, очевидна ее важность для структурных исследований гликопroteинов, поскольку современные методы определения первичной структуры белкового компонента на порядки превышают по своей чувствительности методы структурного анализа их углеводной части. Миниатюризация методов структурного анализа углеводов, основанных на деструкции, требует повышения чувствительности методов качественного и количественного определения моно- и олигосахаридов и (или) их производных. Обычно чувствительность детектирования сахаров не превышает наномольный уровень. Введение хромофорной, флуоресцентной или радиоактивной метки повышает ее до уровня 10^{-12} – 10^{-15} моль.

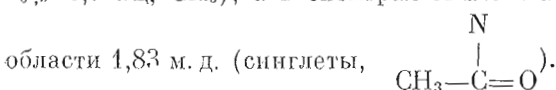
К настоящему времени предложено несколько хромогенных и флуоресцентных меток. Производные гликаминов, содержащие хромогенную группировку, были получены восстановительным алкилированием сахарамида апилина, n-аминоацетофенона, этилового эфира n-аминобензойной кислоты [1], 4-амино-4'-диметиламиноазобензола [2]. Они использованы для анализа углеводов с помощью ВЭЖХ [1, 2]. Введение флуорогенной метки, однако, предпочтительнее, так как она существенно повышает чувствительность детекции. Описано определение моносахаридов с помощью ТСХ в виде их дансилгидразидов; чувствительность метода 1–2 нмоль [3]. Серия работ японских авторов посвящена превращению восстанавливавших углеводов в N-(α-пиридинил)гликамины. Производные этого типа использованы при изучении моносахаридного состава и строения гликопroteинов и гликонентидов [4–14], при определении молекулярных масс олиго- и полисахаридов [15–17], при идентификации фрагментов азотисто-кислотного дезаминирования углеводных цепей гликопroteинов и протеогликанов [5]. Предельная чувствительность детектирования таких

флуоресцентномеченых производных при ВЭЖХ составляла $\sim 0,1$ пмоль, что сопоставимо с радиоизотопными методами анализа.

7-Амино-4-метилкумарин (АМК) был использован для получения флуоресцентномеченых производных олигосахаридов хитина [18], однако низкие выходы продуктов реакции и недостаточная характеристика соединений не позволяли оценить перспективность такого типа производных для углеводного анализа. В данном сообщении нами показаны преимущества АМК-метки по сравнению с α -аминопиридиновой. В частности, достигнутые нами высокие выходы превращения сахаров в N-(4-метилкумарин-7-ил)гликамины (АМК-сахара) и высокий квантовый выход флуоресценции последних позволили существенно повысить чувствительность углеводного анализа.

Синтез АМК-сахаров. Заведомые образцы АМК-сахаров (I)–(X) (табл. 1) синтезированы нами в препаративном масштабе N-алкилированием АМК восстанавливающими моносахаридами в описанных ранее условиях [18] с небольшими модификациями последних. Реакцию проводили в 1,3% растворе уксусной кислоты в метаноле при 40–45°C с применением двухкратных избыточков АМК и цианоборгидрида натрия. В синтез были взяты типичные для гликоконьюгатов моносахариды: глюкоза, галактоза, манноза, фукоза, N-ацетилглюказамин и N-ацетилгалактозамин*. Кроме того, были взяты N-ацетилманнозамин, 2-дезоксиглюкоза, 2-дезоксигалактоза и 2,5-ангидроманноза. Названные сахара являются главными продуктами азотистокислотного дезаминирования соответственно 2-амино-2-дезоксиглюкитола, 2-амино-2-дезоксигалактитола и 2-амино-2-дезоксиглюкозы. Синтез и характеристика АМК-ManNAc (VII) позволили прямым сравнением показать, что получение АМК-производного N-ацетилглюказамина не сопровождается эпимеризацией и побочным образованием АМК-ManNAc. Выходы синтезированных АМК-сахаров после их очистки составляли $\sim 50\%$ в случае аминосахаров, 70–80% в случае нейтральных гексоз и 80–90% для фукозы. Таким образом, выбранные условия (см. «Экспериментальную часть») нельзя считать удовлетворительными для аналитических целей, хотя они и позволили получить соединения в количествах, достаточных для их полной характеристики.

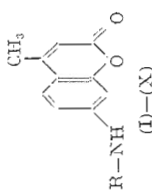
Синтезированные АМК-сахара были очищены хроматографией на силикагеле и биогеле Р-2. Они были индивидуальны по данным ТСХ в различных системах растворителей, а также в условиях ВЭЖХ на аминофазной, октильной и октадецильной колонках (табл. 1). Результаты элементного анализа (углерод, водород, азот) соответствовали вычисленным значениям для этих соединений. В спектрах ^1H -ЯМР гликаминов (I)–(X) присутствовали сигналы, отвечающие группировкам остатка аминокумарина: 5,92 м. д. (спиглеты, H3), 2,52 м. д. (спиглеты, CH_3), 7,44 и 6,60 м. д. (дублеты, $J_{5,6}=J_{6,5}=8,7$ Гц, H5 и H6), 6,6–6,7 м. д. (триплеты, N–H). Кроме того, в спектре АМК-Fuc (IV) присутствовал сигнал при 1,10 м. д. (дублет, $J_{6',5'}=6,5$ Гц, CH_3), а в спектрах АМК-N-ацетиламиносахаров – сигналы в



Поскольку АМК-производные могут найти применение в структурном анализе олигосахаридов, мы специально изучили поведение АМК-моносахаридов в условиях кислотного гидролиза гликозидных связей. При действии 2 М соляной кислоты при 100°C в течение 2–4 ч и 4 н. соляной кислоты в течение 4 ч АМК-производные нейтральных сахаров практически не изменялись; об этом свидетельствовали результаты анализа с помощью ТСХ и ВЭЖХ. В последнем случае с помощью флуориметрии было показано, что количество взятого в опыт АМК-сахара не изменилось, по крайней мере значительно, после кислотных обработок. АМК-производные аминосахаров подвергались N-дезацетилированию, степень которого зависела от жесткости условий обработки. Ре-N-ацетилирование уксусным ангидридом

* Получение АМК-производных спиртовых кислот требует отдельного исследования.

Хроматографическое характеристики N-(4-метилкумарин-7-ил)гликаминов – АМК-сахаров (I)–(X)*



Шифр	R–	RAMR-Glc, ТСХ на силикагеле в системах				БЭХХ, τ, мин ($\tau_{0\text{TH}}^{**}$)			
		Δ	В	В	Г	Δ	Е	Г	
AMK-Glc (I)		1,00	1,00	1,00	1,00	14,95 (0,890)	12,86 (0,865)	16,12 (0,83)	
AMK-Gal (II)		0,93	1,60	1,36	1,18	18,45 (1,099)	13,90 (0,935)	17,02 (0,87)	
AMK-Man (III)		1,36	1,60	1,75	1,45	16,50 (0,983)	14,09 (0,948)	17,78 (0,916)	
AMK-Fuc (IV)		3,21	2,90	1,80	1,65	6,90 (0,411)	17,61 (1,184)	22,12 (1,14)	
AMK-GlcNAc (V)		1,64	1,95	1,45	1,08	14,69 (0,875)	14,77 (1,061)	20,68 (1,063)	

Таблица I (окончание)

Лиганд	R-+	R _{AMK-Glc} , ТСХ на силикагеле в системах				ВЭЖХ, τ, мин (τ _{0,1H} ^{**})	
		A	B	C	E	Ж	
AMK-GalNAc (VI)		1,43	1,55	1,04	1,80	18,48 (1,101)	17,23 (1,1459)
AMK-ManNAc (VII)		—	—	—	—	16,79 (1,003)	14,87 (1,000)
AMK-2dGlc (VIII)		3,02	2,05	—	—	20,95 (1,469)	—
AMK-2dGal (IX)		—	—	—	—	8,48 (0,487)	23,71 (1,594)
AMK-2,5-anhydro-Man (X)		4,14	3,05	1,70	—	4,93 (0,294)	20,62 (1,387)

* Условия ТСХ и ВЭЖХ см. в «Экспериментальной части». Протек — отсутствие экспериментальных данных;
** τ_{0,1H} — время удерживания относительно АМК-ManNAc.

в метаноле в присутствии пиридина затрагивало только аминогруппу сахара и приводило к исходным АМК-производным аминосахаров, количества которых, по данным ВЭЖХ, практически не отличались от взятых в эксперимент. Таким образом, полученные в этой серии экспериментов результаты позволяют заключить, что введение флуоресцентной АМК-метки в олигосахариды может быть с успехом использовано при изучении их структуры.

Спектральная характеристика АМК-сахаров. Спектры поглощения соединений (I)–(X) снимали в спиртовых и водных растворах в интервале pH 3–8. Спектры АМК-сахаров практически не различались. Все соединения имели максимум поглощения при 365 нм, который не зависел ни от растворителя, ни от pH. В интервале концентраций 1–30 мкМ зависимость оптического поглощения от концентраций соединения была линейной; вычисленные коэффициенты молярного поглощения [19] соединений (I)–(X) приведены в табл. 2. Видно, что они близки. Для всех соединений можно принять значение ε_{365} равным $19 \pm 1 \text{ M}^{-1} \cdot \text{cm}^{-1}$, которое может быть использовано при количественном определении АМК-сахаров.

Спектры флуоресценции АМК-сахаров также не различались между собой. В спиртовых растворах все соединения имели максимум поглощения при 365 нм и максимум испускания при 440 нм, АМК – при 430 нм. Максимумы испускания не зависели от pH в интервале 3–8, но положение их сдвигалось до 450–455 нм в водных растворах. Для всех соединений (I)–(X) квантовый выход флуоресценции, определенный по методу [20], составил $\sim 0,9$. Высокие значения квантового выхода флуоресценции АМК-сахаров и их молярного коэффициента поглощения указывали на возможность достижения высокой чувствительности детекции флуориметрическим методом.

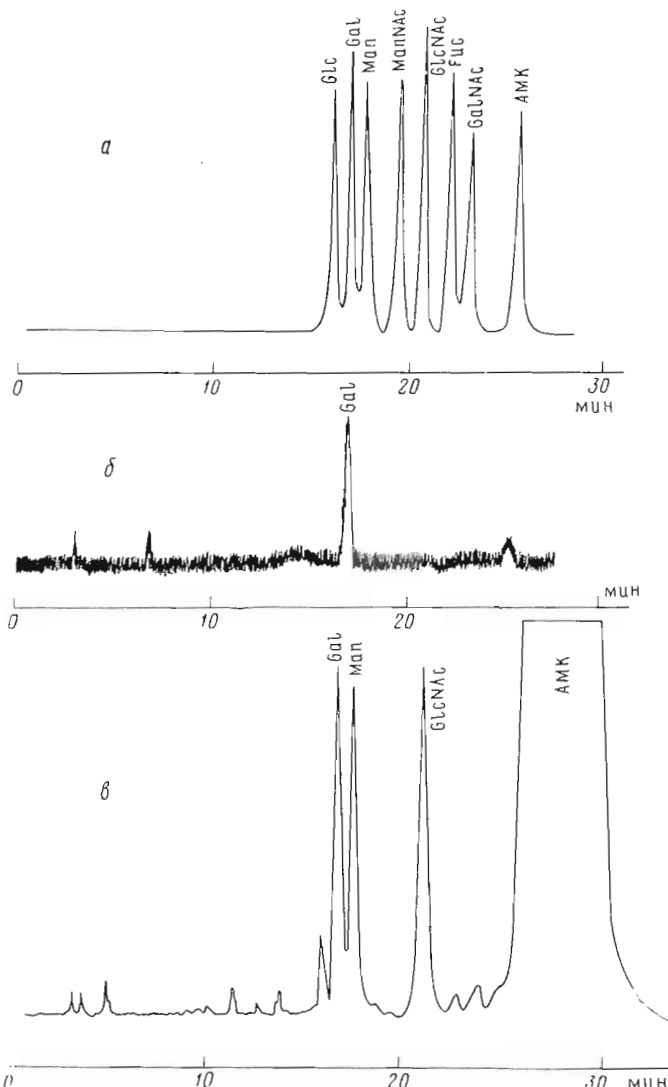
Полученные характеристики АМК-сахаров показали, что эти соединения с успехом могут быть использованы в углеводном анализе. Поэтому нами была проведена оптимизация условий превращения моносахаридов в их АМК-производные. С этой целью изучено влияние на выход АМК-сахаров pH среды, температуры, соотношения моносахарида, АМК и NaCNBH₃, порядок смешения реагентов. Во всех случаях чистота АМК-сахаров (отсутствие побочных продуктов) и их выходы определялись с помощью ВЭЖХ с последующим количественным определением целевых АМК-производных с помощью проточного флуориметра. В качестве растворителей испытаны метанол, диметилформамид; pH среды создавалось добавлением определенного количества уксусной кислоты. Использование метанола дало лучшие результаты. Оптимум pH реакции лежал в интервале 5,0–6,0. Для достижения хороших выходов требовалась температура не ниже 40 и не выше 80°C. Во всех случаях был необходим большой из-

Таблица 2

Спектральные характеристики АМК-сахаров (I)–(X)

Соединение	УФ-спектр, ε_{365} , $\text{M}^{-1} \cdot \text{cm}^{-1}$	Флуоресценция *			Квантовый выход, Q
		$\lambda_{\text{погл}}$	$\lambda_{\text{исп}}$		
		нм	нм		
АМК	19 500	355	430		0,90
AMK-Glc (I)	20 000	365	440		0,86
AMK-Gal (II)	18 000	365	440		0,88
AMK-Man (III)	19 800	365	440		0,89
AMK-Fuc (IV)	18 700	365	440		0,90
AMK-GlcNAc (V)	19 900	366	440		0,91
AMK-GalNAc (VI)	20 000	365	440		0,90
AMK-ManNAc (VII)	17 200	366	440		0,90
AMK-2dGlc (VIII)	20 200	365	440		0,90
AMK-2dGal (IX)	20 000	364	440		0,91
AMK-anhydro-Man (X)	16 200	365	440		0,88

* Спиртовой раствор.



Разделение АМК-сахаров на колонке Ultrasphere ODS (условия Ж): скорость элюции 0,75 мл/мин, давление 100 ат: *а* — стандартная смесь АМК-сахаров (I)–(VII) (по 2–5 пмоль каждого), *б* — АМК-Gal (II) (0,05 пмоль), *в* — АМК-сахара, полученные при гидролизе гликопептида $(\text{GalGlcNAc})_2\text{Man}_3\text{GlcNAc}_2\text{Asp}$ (XI) (5 пмоль) (см. табл. 4)

быток АМК и цианоборгидрида, причем тем больший, чем меньшее количество сахара бралось в реакцию. Так, для превращения 50–100 нмоль моносахарида был достаточен 2–4-кратный избыток реагентов, в то время как для 50 пмоль — не менее чем 10-кратный.

Выходы целевых АМК-сахаров заметно повышались при предварительной инкубации моносахарида с АМК без восстановителя. Оптимальными условиями преинкубации было: температура 80° С, время — 2 ч. Последующее восстановление оснований Шиффа или гликозиламинов осуществлялось избытком цианоборгидрида при 40° С в течение 18–24 ч. Однако при работе с малыми количествами сахаров преинкубация с АМК усложняла процедуру аналитического определения моносахаридов. Поэтому в аналитической методике нами использовался большой (600–700-кратный) избыток реагентов и температура реакции 40° С, что давало хорошие результаты.

При оптимизации условий мы специально изучили также факторы, влияющие на образование побочных продуктов. Оказалось, что существенную роль играет удаление из среды кислорода и проведение реакции в атмосфере инертного газа (азот). Последнее особенно важно при работе с

малыми количествами сахаров. На основании полученных таким образом результатов нами предложен микрометод получения АМК-сахаров (см. «Экспериментальную часть»), который давал не менее 90% выхода целевого продукта.

Хроматография АМК-сахаров. Для разделения АМК-сахаров использовались ТСХ и ВЭЖХ. С помощью ТСХ на силикагеле удавалось получить удовлетворительные результаты; они суммированы в табл. 1. Минимальные количества АМК-сахаров, видимые при облучении УФ-светом, составляли ~1 пмоль.

Нами опробовано несколько условий разделения АМК-сахаров с помощью ВЭЖХ; полученные результаты суммированы в табл. 1. Хроматография на колонке Zorbax NH₂ (условия Д) давала удовлетворительное разделение внутри групп нейтральных сахаров и аминосахаров. Однако в этих условиях не удалось добиться разделения пар производных нейтрального сахара и аминосахара одинаковой конфигурации (см. табл. 1, Д). На колонке Zorbax C₈ (условия Е) не удалось достичь разделения пар АМК-Gal и АМК-Man, АМК-Fuc и АМК-GalNAc. Хорошие результаты дало разделение на колонке Ultrasphere ODS (условия Ж, рисунок а). Эти условия ВЭЖХ использовались в аналитической методике определения моносахаридов (см. «Экспериментальную часть»). Далее нам удалось показать, что температура по-разному влияет на подвижность АМК-сахаров (табл. 3). Этот факт представляется существенным, поскольку он открывает еще одну возможность быстро оптимизировать условия хроматографического разделения анализируемой смеси.

В серии экспериментов определена предельная чувствительность детектирования АМК-производных. На рисунке б приведена хроматограмма 0,05 пмоль АМК-Gal. Видно, что это количество образца уверенно детектируется при ВЭЖХ.

Ранее в работе [14] был специально предпринят поиск оптимальных условий гидролиза гликопептидов. Найденные авторами оптимальные условия гидролиза (смесью 2 М HCl – 2 М трифторуксусная кислота) были

Таблица 3

Влияние температуры на времена удерживания АМК-сахаров при ВЭЖХ *

Соединение	20° С		26° С		32° С		37° С	
	τ, мин	τ _{отн}						
АМК-Glc	16,82	1,000	16,12	1,000	13,92	1,000	12,19	1,000
АМК-Gal	17,80	1,058	17,02	1,056	14,62	1,050	12,73	1,044
АМК-Man	18,60	1,106	17,78	1,103	15,24	1,095	13,25	1,087
АМК-ManNAc	20,32	1,207	19,40	1,203	16,54	1,188	14,33	1,178
АМК-GlcNAc	21,74	1,293	20,68	1,287	17,44	1,253	14,97	1,228
АМК-Fuc	23,12	1,375	22,12	1,372	19,00	1,365	16,55	1,358
АМК-GalNAc	24,22	1,512	22,98	1,426	19,10	1,380	16,55	1,358
АМК	26,78	1,592	25,66	1,592	22,18	1,593	19,45	1,506

* Условия Ж (см. в «Экспериментальной части»), τ_{отн} — время удерживания относительно АМК-Glc.

Таблица 4

Определение моносахаридного состава гликопептида (Gal-GlcNAc)₃Man₃GlcNAc₂Asn методами ГЖХ и ВЭЖХ

Метод	Тип производного	Количество анализируемого образца	Моносахаридный состав, моль/моль Man		
			Gal	Man	GlcNAc
ГЖХ	Триметилсилиловые эфиры метилгликозидов	100 пмоль	2,9	3,0	4,4
ВЭЖХ	АМК-сахара Вычислено	100 пмоль	2,9 3	3,0 3	4,3 5

опробованы нами и показали хорошие результаты. В дальнейшем они использовались в аналитической методике определения моносахаридов в виде их АМК-производных (см. «Экспериментальную часть»).

Разработанная таким образом методика количественного и качественного определения моносахаридов в виде их АМК-производных была опробована нами при определении моносахаридного состава гликопептида ($\text{GalGlcNAc}_3\text{Man}_3\text{GlcNAc}_2\text{Asn}$ (XI)) (рисунок *в*), полученного в результате гидролиза асиалофетуина проназой как описано в работе [21]. Параллельно моносахаридный состав этого гликопептида определяли с помощью ГЖХ триметилсиловых эфиров метилгликозидов [22]. Из табл. 4 видно, что оба метода дают хорошо согласующиеся результаты, близкие к теоретическим. Однако чувствительность описываемого в данной работе метода на 2,5–3 порядка выше.

Таким образом, полученные нами данные показывают, что превращение сахаров в их АМК-производные и последующий их анализ с помощью ВЭЖХ позволяют с высокой чувствительностью анализировать моносахаридный состав гликоконъюгатов.

Экспериментальная часть

Спектры поглощения снимали на спектрофотометре Beckman Acta-M VI; спектры флуоресценции — на спектрофлуориметре Hitachi MPF-3, при определении квантовых выходов — на спектрофлуориметре Aminco SPF-4000 CS; квантовый выход измеряли относительно стандарта (сернокислый хинин, $\lambda_{\text{исп}} 455$ нм, $Q 0,55$) по описанному методу [20]. Спектры $^1\text{H-NMR}$ (δ , м.д.) сняты на приборе Varian CS-300 (300 МГц) в $\text{DMSO}-d_6$ с тетраметилсиланом в качестве стандарта.

Для колоночной хроматографии использовали силикагель L 40–100 мкм (Chemapol, ЧССР), гель-хроматографию осуществляли на бигеле P-2, 100–200 меш (Bio-Rad, США), TCX — на силикагельных пластинках DC-Alufolien Kieselgel 60, Art. 5553 (Merck) в системах растворителей хлороформ — метанол, 3 : 1 (А), хлороформ — метанол — ацетон, 1 : 1 : 1 (Б), *n*-бутанол — изопропанол — вода, 3 : 5 : 4 (В), *n*-бутанол, насыщенный водой (Г). Обнаружение зон осуществляли облучением УФ-светом, опрыскиванием 5% серной кислотой в метаполе с последующим прогреванием при 150° С.

ВЭЖХ проводили на жидкостном хроматографе Du Pont 8800, слабженном проточным флуориметром FS 970 (Shoefell) и интегратором Du Pont SP 4100, на аналитических колонках (4,6×250 мм) Zorbax NH₂ (Du Pont) в смеси ацетонитрил — вода (20 : 1) при 20° С (условия Д), Zorbax Cs (Du Pont) в смеси метанол — вода (3 : 1) при 20° С (условия Е) и Ultrasphere ODS (Altex) в 17,5% водном этаноле, содержащем 0,1% трифтормукусной кислоты, pH 2,5–2,6, при 26° С (условия Ж).

ГЖХ осуществляли как описано ранее [22].

Растворители и жидкие реактивы. Использовался свежеприготовленный триплексная (кварцевая посуда). Метанол очищали перегонкой с последующим абсорбтированием перегонкой над метилатом магния. Этanol (технический) абсолютизировали перегонкой над окисью кальция. Пирдин очищали двукратной перегонкой сначала над гидроокисью натрия, затем над окисью бария. Ацетонитрил для ВЭЖХ — коммерческий препарат (Merck, ФРГ). Уксусную кислоту очищали вымораживанием (ледяная вода) с последующей перегонкой, уксусную ангидрид — однократной перегонкой, трифтормукусную кислоту — перегонкой в посуде из боросиликатного стекла коммерческого реактива марки ч. Соляную кислоту марки ос. ч. дополнительно очищали перегонкой в посуде из боросиликатного стекла.

Моносахариды: *D*-галактоза, *D*-глюкоза, *D*-манноза, *L*-фукоза, N-ацетил-*D*-глюказамин, N-ацетил-*D*-галактозамины (Sigma, США), 2-дезокси-*D*-галактоза и 2-дезокси-*D*-глюкоза (Chemapol, ЧССР) использовались без дополнительной очистки.

2,5-Ангидро-*D*-манноза получена: а) из солянокислого глюказамина действием азотистой кислоты и очищена как описано [23]; б) синтезирована из бензил-2-ацетамидо-2-дезокси- α -*D*-глюкопиранозида путем N-дезацетилирования гидразином с последующим дезаминированием как описано [24].

7-Амино-4-метилкумарин (АМК) синтезирован из м-аминофенола согласно [25], очищали двукратной кристаллизацией из изопропанола с последующей кристаллизацией из метанола, т. пл. 230° С; хроматографически чистый (ВЭЖХ, условия Д–Ж). Без заметных изменений хранится в темной плотно закрытой склянке в течение длительного времени.

N-(4-Метилкумарин-7-ил)гликамины (АМК-сахара, I–X). 100 мкмоль моносахарида и 200 мкмоль АМК растворяли в 3 мл 1,3% раствора уксусной кислоты в метаноле, выдерживали 2 ч при 40° С, добавляли 13 мг (200 мкмоль) NaCNBH₃ и выдерживали 18–20 ч при 40° С. Затем добавляли 3 мл уксусной кислоты, упаривали в вакууме, борную кислоту удаляли упариванием в вакууме с метанолом (3×3 мл). Остаток хроматографи-

фирировали на силикагеле, колонка ($3,5 \times 22$ см) уравновешена в смеси хлороформ — метанол (3 : 1). АМК элюировали смесью хлороформ — метанол (3 : 1), АМК-сахар — смесью хлороформ — метанол (2 : 1). Зоны АМК и АМК-сахаров обнаруживали на колонке при облучении УФ-светом. Дополнительно АМК-сахара очищали хроматографией на биогеле Р-2, элюируя водой; элюаты, содержащие АМК-сахар, упаривали до небольшого объема и лиофилизовали. Полученные в результате светло-желтые порошки сушили в вакууме над пятиокисью фосфора, после чего их анализировали и исследовали спектральными методами. Выходы АМК-сахаров составляли 70–80% для нейтральных гексоз, 50–55% для аминосахаров и 80–90% для фукозы. Вещества хорошо растворимы в воде, метаноле, длительное время (более года) хранились без заметного разложения в вакуум-экскаторе над пятиокисью фосфора при 4° С. АМК-сахара практически не изменялись в течение длительного времени (~ год) в метанольном растворе при 4° С.

Гликопептид ($\text{GalGlcNAc}_3\text{Man}_3\text{GlcNAc}_2\text{Asn}$ (XI) получали из фетуина фетальной сыворотки теленка (Calbiochem) после десалирования 0,05 М H_2SO_4 (80° С, 1 ч), исчерпывающего проназного гидролиза и выделения гель-хроматографией соответственно [21].

*Определение моносахаридного состава
(аналитическая процедура)*

Гидролиз [14]. 1–0,05 нмоль анализируемого образца олигосахарида, тликопротеина или гликопептида в растворе (в воде или водном спирте) помещали в ампулу (свежеприготовленная из боросиликатного стекла) объемом ~100 мкл, добавляли 0,5–0,025 нмоль N-ацетилманнозамина (водный раствор, внутренний стандарт). Содержимое ампулы упаривали при 20° С в вакууме. К остатку добавляли 25 мкл 4 М трифторуксусной кислоты и 25 мкл 4 М HCl. Полученный раствор замораживали жидким азотом, ампулу вакуумировали, заполняли азотом и размораживали; процедуру повторяли 3–4 раза, после чего ампулу вакуумировали (30–50 мм рт. ст.) и отпавали. Полученную запаянную ампулу выдерживали 6–7 ч при 100° С, затем охлаждали до 20° С, вскрывали, содержимое упаривали в вакууме при 20° С. Остаток сушили в вакууме над пятиокисью фосфора и гидроокисью калия в течение ночи.

Ре-N-ацетилирование [26]. Содержимое ампулы растворяли в 50 мкл abs. MeOH, добавляли 1 мкл пиридина и 5 мкл уксусного ангидрида. Через 20 мин смесь упаривали в вакууме при 20° С и остаток сушили в вакууме над пятиокисью фосфора.

Превращение в АМК-сахара. К высушенному в ампуле остатку добавляли 30 мкл (660 нмоль) насыщенного раствора АМК в 0,06% растворе уксусной кислоты в метаноле и 20 мкл 0,32 М NaCNBH₃ в метаноле. Содержимое ампулы замораживали жидким азотом, заполняли ампулу азотом как описано выше, запаивали, выдерживали 18 ч при 40° С, затем охлаждали до 20° С, вскрывали, добавляли 10 мкл уксусной кислоты и упаривали досуха в вакууме при 20° С. Борную кислоту удаляли 2–3-кратным упариванием с метанолом в вакууме при 20° С. К остатку добавляли 30 мкл воды, осторожно встраивали, нерастворившийся осадок АМК отделяли центрифугированием. Из надосадочной жидкости отбирали аликвоту (0,5–5 мкл) для анализа ВЭЖХ (условия Ж, табл. 1).

Количественное определение моносахаридов в анализируемом образце. Параллельно с анализируемым образцом описанным выше обработкам (гидролиз, ре-N-ацетилирование и превращение в АМК-сахара) подвергали смесь моносахаридов, содержащую глюкозу, галактозу, маниозу, фукозу, N-ацетилглюказамин, N-ацетилгалактозамин и N-ацетилманнозамин (по 0,1 нмоль каждого). Из результатов ВЭЖХ стандартной смеси* (условия Ж) определяли пересчетные коэффициенты k_x для каждого

* Использовалась программа интегратора для расчета по методу внутреннего стандарта.

моносахарида (X) по соотношению $k_x = \frac{S'_\text{ManNAc}}{S'_x}$,
где S'_ManNAc — площадь пика АМК-ManNAc, S'_x — площадь пика АМК-X.

Из результатов ВЭЖХ * анализируемого образца определяли содержание каждого моносахарида по формуле

$$Q_x = Q_{\text{ManNAc}} \cdot k_x \frac{S_x}{S_{\text{ManNAc}}},$$

где Q_x — количество определяемого моносахарида (нмоль), Q_{ManNAc} — количество N-ацетилманнозамина, взятого в качестве внутреннего стандарта (нмоль), S_x — площадь пика АМК-X на хроматограмме анализируемого образца, S_{ManNAc} — площадь пика внутреннего стандарта (АМК-ManNAc).

ЛИТЕРАТУРА

- Wang W. T., Le Donne, Jr., N.C., Ackerman B., Sweely C. C. Anal. Biochem., 1984, v. 141, № 2, p. 366–381.
- Rosenfelder G., Morgelin M., Chang J.-Y., Schonenberger C. A., Braun D. G., Towbin H. Anal. Biochem., 1985, v. 147, № 1, p. 156–165.
- Awigad G. J. Chromatogr., 1977, v. 139, № 2, p. 343–347.
- Hase S., Hara S., Matsushima Y. J. Biochem., 1979, v. 85, № 1, p. 217–220.
- Hase S., Ikenaka T., Matsushima Y. J. Biochem., 1979, v. 85, № 4, p. 989–994.
- Hase S., Ikenaka T., Matsushima Y. J. Biochem., v. 85, № 4, p. 995–1002.
- Hase S., Ikenaka T., Matsushima Y. J. Biochem., 1981, v. 90, № 2, p. 407–419.
- Hase S., Okawa K., Ikenaka T. J. Biochem., 1982, v. 91, № 2, p. 735–737.
- Hase S., Fujimura K., Kano M., Ikenaka T. J. Biochem., 1982, v. 92, № 1, p. 265–270.
- Omichi K., Ikenaka T. J. Chromatogr., 1982, v. 230, № 2, p. 415–419.
- Omichi K., Ikenaka T. J. Biochem., 1983, v. 93, № 4, p. 1055–1060.
- Hase S., Ibuki T., Ikenaka T. J. Biochem., 1984, v. 95, № 1, p. 197–203.
- Omichi K., Ikenaka T. J. Chromatogr., 1984, v. 336, № 2, p. 368–373.
- Jakemoto H., Hase S., Ikenaka T. Anal. Biochem., 1985, v. 145, № 2, p. 245–250.
- Hase S., Ikenaka T., Matsushima Y. Biochem. and Biophys. Res. Commun., 1978, v. 85, № 1, p. 257–263.
- Hase S., Ikenaka T., Matsushima Y. J. Biochem., 1981, v. 90, № 5, p. 1275–1279.
- Masashi K., Zensaku Y. J. Biochem., 1982, v. 92, № 1, p. 295–303.
- Prakash C., Vijay I. K. Anal. Biochem., 1983, v. 128, № 1, p. 41–46.
- Вест В. В кн.: Применение спектроскопии в химии/Ред. Вест В. М.: Мир, 1959.
- Юденфренд С. В кн.: Флуоресцентный анализ в биологии и медицине/Ред. Мейсель М. Н., Варшавский Я. М. М.: Мир, 1965, с. 26–29.
- Finne J., Krusius T. Meth. Enzymol., 1982, v. 83, p. 269–277.
- Алексина Т. В., Мирзаянова М. Н., Шиyan С. Д., Хорлин А. Я. Биохимия, 1984, т. 49, № 1, с. 93.
- Horton D., Philips K. D. In: Methods in Carbohydr. Chem./Eds Whistler R. L., BeMiller J. H. N. Y.–L.: Acad. Press, 1976, v. VII, p. 68–70.
- Dmitriev B. A., Knirel Yu. A., Kochetkov N. K. Carbohydr. Res., 1973, v. 29, № 2.
- Zimmerman M., Yurewich E., Patel C. Anal. Biochem., 1976, v. 70, № 1, p. 258–262.
- Kozulic B., Ries B., Mildner P. Anal. Biochem., 1979, v. 94, № 1, p. 36–39.

Поступила в редакцию 17.II.1986

FLUORESCENT DERIVATIVES OF CARBOHYDRATES IN STRUCTURAL STUDIES OF GLYCOCOCONJUGATES. N-(4-METHYLCOUMARIN-7-YL)GLYCAMINES: SYNTHESIS, CHARACTERIZATION AND USE IN CARBOHYDRATE ANALYSIS

KHORLIN A. Ya., SHIYAN S. D., MARKIN V. A., NASONOV V. V., MIRZAYANOVA M. N.

M. M. Shemyakin Institute of Bioorganic Chemistry, Academy of Sciences of the USSR, Moscow

A method for determining the monosaccharide composition of glycoconjugates is proposed that involves derivatization of the monosaccharides released on acid hydrolysis into N-(4-methylcoumarin-7-yl)glycamines (AMC-sugars) and their subsequent analysis by reverse-phase HPLC with fluorimetric quantitation. The authentic AMC-sugars were prepared by reductive N-alkylation of 7-amino-4-methylcoumarin with the following monosaccharides in the presence of NaCNBH₃: D-Glc, D-Gal, D-Man, L-Fuc, D-GlcNAc, D-GalNAc, D-ManNAc, 2-deoxy-D-Glc, 2-deoxy-D-Gal, and 2,5-anhydro-D-Man. These AMC-sugars were shown to have practically the same spectral characteristics: $\varepsilon_{365} 19 \pm 1 \text{ mM}^{-1}\text{cm}^{-1}$, $\lambda_{\text{ex}}/\lambda_{\text{em}} 365/440 \text{ nm}$ (EtOH), the quantum yield of fluorescence about 0.9. The detection level of AMC-sugars was found to be up to 1 pmole on TLC and 0.05 pmole in HPLC analyses. A procedure was described for the monosaccharide analysis of 0.05–1.0 nmoles of glycoproteins, glycopeptides or oligosaccharides involving hydrolysis with 2 N HCl – 2 N TFA, derivatization and HPLC analysis.